

COMET TSI

Panorama des techniques d'optimisation

Applications pour l'imagerie

Thomas Oberlin

ISAE-SUPAERO, DISC, ANITI, thomas.oberlin@isae-supero.fr

26 juin 2024

Motivation

Pourquoi l'optimisation?

- ▶ Outil central en traitement du signal, en apprentissage et analyse de données
- ▶ Outil fondamental pour les problèmes inverses : estimer des paramètres à partir d'observations
- ▶ En imagerie : traitement d'image, reconstruction d'images (tomographie, compressed sensing)
- ▶ Acquisition et traitements sont de plus en plus intimement liés (**computational imaging**)

Quelle optimisation?

- ▶ Continue : on minimise une fonction à variables réelles
- ▶ Avec ou sans contraintes
- ▶ Différentiable ou non

Avertissement

- ▶ Sélection de méthodes biaisée par mon expérience et mes connaissances de chercheur en traitement d'images et en apprentissage
- ▶ Un peu de théorie, beaucoup d'algorithmes, quelques exemples
- ▶ Simplifier la théorie \rightarrow certaines hypothèses ne seront pas explicitées, ce n'est pas un cours parfaitement rigoureux mathématiquement
- ▶ Peu de citations et de références

Bibliographie

Fondamentaux de l'optimisation

- ▶ Jorge Nocedal et Stephen J. Wright. *Numerical optimization*. Springer, 1999.
- ▶ Stephen P. Boyd et Lieven Vandenberghe. *Convex optimization*. Cambridge university press, 2004.
- ▶ Dimitri P. Bertsekas, *Nonlinear programming*. Athena Scientific, 1999.
- ▶ Jean-Baptiste Hiriart-Urruty and Claude Lemaréchal. *Fundamentals of convex analysis*. Springer, 2004.

Livres plus appliqués ou spécialisés

- ▶ Léon Bottou, Frank E. Curtis, et Jorge Nocedal. *Optimization methods for large-scale machine learning*. SIAM review 60.2, 2018.
- ▶ Charu C. Aggarwal. *Linear algebra and optimization for machine learning*. Springer International Publishing, 2020.
- ▶ Patrick L. Combettes et Jean-Christophe Pesquet. *Proximal splitting methods in signal processing*. Fixed-point algorithms for inverse problems in science and engineering, 2011.

Plan de la séance

1. Bases mathématiques
2. Optimisation différentiable sans contraintes
3. Optimisation sous contraintes
4. Optimisation non lisse et *splitting*
5. Cas d'étude
6. Conclusion

Plan de la section

1. Bases mathématiques

Notations

Dérivées

Développements de Taylor

Convexité

2. Optimisation différentiable sans contraintes

3. Optimisation sous contraintes

4. Optimisation non lisse et *splitting*

5. Cas d'étude

6. Conclusion

Quelques notations

f	la fonctionnelle à minimiser, $f : \mathbb{R}^n \rightarrow \mathbb{R} \cup +\{\infty\}$
x	un vecteur colonne de \mathbb{R}^n : $x = (x_1, x_2, \dots, x_n)^T$
\cdot^T	la transposition
$(e_i)_i$	la base canonique de \mathbb{R}^n : $e_i = (0, \dots, 0, 1, 0 \dots, 0)^T$
A	une matrice, d'éléments A_{ij} , i indique la ligne, j la colonne
I_n	la matrice identité de taille $n \times n$
$\ x\ _p$	la norme p de x : $\ x\ _p^p = \sum_i x_i ^p$, par défaut $p = 2$
$\ A\ _{p \rightarrow q}$	la norme subordonnée $\ A\ _{p \rightarrow q} = \max_{x \neq 0} \frac{\ Ax\ _q}{\ x\ _p}$ plus grande vp de la matrice
$\ A\ _F$	la norme de Frobenius : $\ A\ _F^2 = \sum_{i,j} A_{ij} ^2$
$A \succ 0$	A est définie positive
$A \succeq 0$	A est semi-définie positive
∇f	le gradient de f , une fonction de \mathbb{R}^n dans \mathbb{R}^n
$\nabla^2 f$	la Hessienne de f , $\nabla^2 f(x) \in \mathbb{R}^{n \times n}$
$\frac{\partial f}{\partial x_i}$	la dérivée partielle de f par rapport à sa i -ème variable

Dérivées partielles et gradient

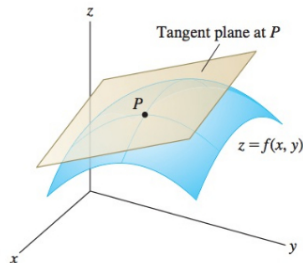
La **dérivée** partielle est, comme en dimension 1, la limite d'un taux d'accroissement

$$\frac{\partial f}{\partial x_i}(x) = \lim_{\varepsilon \rightarrow 0} \frac{f(x + \varepsilon e_i) - f(x)}{\varepsilon} \quad (1)$$

Le **gradient** est la fonction vectorielle composée des dérivées partielles :

$$\nabla f = \left(\frac{\partial f}{\partial x_1}, \dots, \frac{\partial f}{\partial x_i}, \dots, \frac{\partial f}{\partial x_n} \right) \quad (2)$$

Le gradient définit la différentielle, qui est une approximation linéaire locale (plan tangent) : $f(x + h) \approx f(x) + \nabla f(x)^T h$.



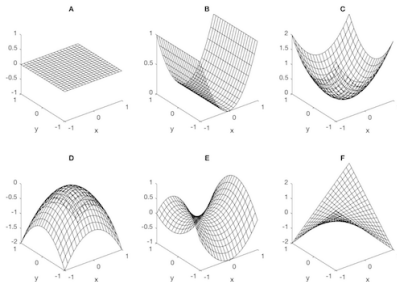
Hessienne

ca permet de caractériser le minimum grace au signe des vp

La Hessienne de f est la matrice

$$\nabla^2 f = \begin{pmatrix} \frac{\partial^2 f}{\partial x_1^2} & \frac{\partial^2 f}{\partial x_1 \partial x_2} & \cdots & \frac{\partial^2 f}{\partial x_1 \partial x_n} \\ \frac{\partial^2 f}{\partial x_2 \partial x_1} & \frac{\partial^2 f}{\partial x_2^2} & \cdots & \frac{\partial^2 f}{\partial x_2 \partial x_n} \\ \vdots & \vdots & \ddots & \vdots \\ \frac{\partial^2 f}{\partial x_n \partial x_1} & \frac{\partial^2 f}{\partial x_n \partial x_2} & \cdots & \frac{\partial^2 f}{\partial x_n^2} \end{pmatrix} \quad (3)$$

La hessienne capture la courbure. En particulier, les signes de ses valeurs propres caractérisent le type de point critique (minimum, maximum, point-selle), et le 1er vecteur propre donne la direction de courbure principale.



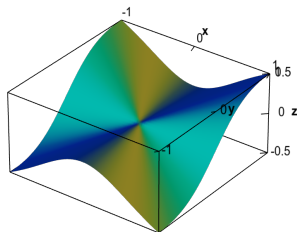
Différentielle et gradient

Développement de f à l'ordre 1 :

$$f(x + h) = f(x) + \nabla f(x)^T h + o(\|h\|), \quad (4)$$

où $o(\|h\|)$ signifie que ce résidu tend vers 0 “plus vite” que $\|h\|$, quand $\|h\|$ tend vers 0.

Attention, la notion de différentiabilité (“il existe un plan tangent”) est plus forte que l'existence de dérivées directionnelles.



Développements d'ordre 2 et majoration

Développement de f à l'ordre 2 :

$$f(x+h) = f(x) + \nabla f(x)^T h + \frac{1}{2} h^T \nabla^2 f(x) h + o(\|h\|^2). \quad (5)$$

Si ∇f est L -Lipschitz (ie, $\forall x, y, \|\nabla f(x) - \nabla f(y)\| \leq L \|x - y\|$), alors on a la majoration suivante au voisinage de x :

$$f(x+h) \leq f(x) + \nabla f(x)^T h + \frac{L}{2} \|h\|^2. \quad (6)$$

permet de démontrer la conv. de la desc grad

Si f est 2 fois différentiable on peut poser $L = \sup_x \|\nabla^2 f(x)\|_{2 \rightarrow 2}$.

Convexité

Ensemble convexe

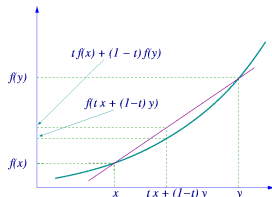
Un ensemble E est convexe si et seulement si $\forall x_1, x_2 \in E, \forall t \in]0, 1[$,

$$tx_1 + (1 - t)x_2 \in E.$$

Fonction convexe

La fonction f est convexe sur un ensemble convexe $E \subset \mathbb{R}^n$ si et seulement si $\forall x_1, x_2 \in E, \forall t \in]0, 1[$,

$$f(tx_1 + (1 - t)x_2) \leq tf(x_1) + (1 - t)f(x_2).$$



Convexité stricte et forte

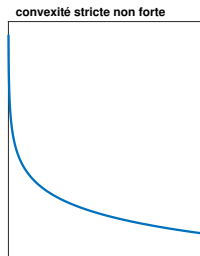
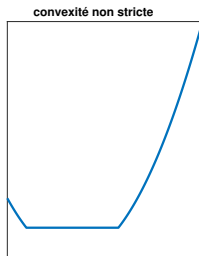
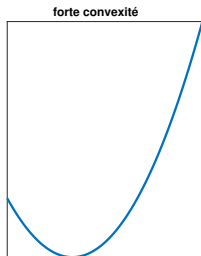
Fonction strictement convexe

Convexité stricte = égalité stricte dans la définition.

Fonction fortement convexe

La fonction f est μ -fortement convexe si et seulement si $\forall x_1, x_2 \in E, \forall t \in [0, 1]$,

$$f(tx_1 + (1 - t)x_2) \leq tf(x_1) + (1 - t)f(x_2) - \frac{\mu}{2}t(1 - t) \|x_1 - x_2\|_2^2.$$



Caractérisation différentielle de la convexité

Si f est de classe \mathcal{C}^2 , on a les équivalences suivantes :

- ▶ f est convexe $\Leftrightarrow \nabla^2 f(x) \succeq 0 \ \forall x$
- ▶ f est strictement convexe $\Leftrightarrow \nabla^2 f(x) \succ 0 \ \forall x$
- ▶ f est μ -fortement convexe $\Leftrightarrow \nabla^2 f(x) - \mu I_n \succeq 0 \ \forall x$
- ▶ f a un gradient L -Lipschitz $\Leftrightarrow \nabla^2 f(x) - LI_n \preceq 0 \ \forall x$

Cas d'une forme quadratique

Si $f(x) = x^T Q x$ avec Q symétrique, alors

- ▶ $\mu = \lambda_{\min}(Q)$ la plus petite valeur propre
- ▶ $L = \lambda_{\max}(Q)$ la plus grande valeur propre
- ▶ $\kappa = L/\mu$ est le conditionnement de la matrice Q

Plan de la section

1. Bases mathématiques
2. Optimisation différentiable sans contraintes
 - Descente de gradient
 - Recherche de pas
 - Méthodes de (quasi)-Newton
 - Moindres carrés non linéaires
3. Optimisation sous contraintes
4. Optimisation non lisse et *splitting*
5. Cas d'étude
6. Conclusion

Conditions d'optimalité

$$\min_x f(x)$$

Au premier ordre (f est de classe \mathcal{C}^1)

- ▶ Condition nécessaire : si x_* est un minimum **local**, alors $\nabla f(x_*) = 0$.
- ▶ Condition nécessaire et suffisante : si f est convexe, x_* est un minimum **global** $\Leftrightarrow \nabla f(x_*) = 0$

Au second ordre (f est de classe \mathcal{C}^2)

- ▶ Condition nécessaire : si x_* est un minimum **local**, alors $\nabla f(x_*) = 0$ et $\nabla^2 f(x_*)$ est semi-définie positive (valeurs propres ≥ 0).
- ▶ Condition suffisante : si $\nabla f(x_*) = 0$ et $\nabla^2 f(x_*)$ est définie-positive, alors x_* est un minimiseur **local strict**.

Descente de gradient

Descente de gradient pour une fonction $f \in \mathcal{C}^1$:

Initialiser x_0 ; choisir des pas γ_k ; itérer

$$x_{k+1} = x_k - \gamma_k \nabla f(x_k). \quad (7)$$

Convergence

- ▶ Si ∇f est L-Lipschitz et $\gamma_k < \frac{2}{L}$, alors la descente de gradient converge vers un point stationnaire. Choix typique : $\gamma_k = \frac{1}{L}$.
- ▶ Si de plus f est convexe, on a une convergence linéaire :

$$f(x_k) - f_* \leq \frac{2}{k+4} \|x_0 - x_*\|_2^2 \quad (8)$$

- ▶ Si de plus f est μ -fortement convexe, on a une convergence exponentielle :

$$\|x_k - x_*\| \leq \left(1 - \frac{\mu}{L}\right)^k \|x_0 - x_*\|_2 \leq e^{-\frac{\mu k}{L}} \|x_0 - x_*\|_2 \quad (9)$$

Recherche de pas

Formulation

Au point courant x_k , on a identifié une direction de descente p (par exemple $p = -\nabla f(x_k)$). Le problème s'écrit

$$\min_{\gamma} f(x_k + \gamma p). \quad (10)$$

Intuitions

- ▶ Problème “facile”, car 1D, souvent unimodal
- ▶ Inutile de chercher l'optimum, mieux vaut mettre à jour la direction

Armijo

- ▶ Trouver γ le plus grand possible tel que

$$f(x_k) - f(x_{k+1}) \geq \mu \gamma |p^T \nabla f(x_k)| \quad (11)$$

- ▶ Algorithme : choisir $\mu \approx 0.25$ et $\rho \in]0, 1[$. Commencer avec une borne supérieure sur γ . Tant que la condition n'est pas remplie, poser $\gamma = \gamma \rho$.

Gradient accéléré (Nesterov)

Gradient accéléré (Nesterov)

On suppose que f est convexe et son gradient est L -Lipschitz.

1. Initialisation : $t_0 = 1$, $\gamma = 1/L$, $k = 0$, point initial x_0 , $y_0 = x_0$.

2. Itérations :

- ▶ $x_{k+1} = y_k - \gamma \nabla f(x_k)$
- ▶ $t_{k+1} = \frac{1 + \sqrt{1 + 4t_k^2}}{2}$
- ▶ $y_{k+1} = x_{k+1} + \frac{t_k - 1}{t_{k+1}}(x_{k+1} - x_k)$
- ▶ $k := k + 1$

- ▶ Idée : les itérés successifs peuvent fournir une information de second ordre qui aident à la convergence
- ▶ Convergence quadratique :

$$f(x_k) - f_* \leq 2L \frac{\|x_0 - x_*\|_2^2}{(k+1)^2}.$$

- ▶ Appelé aussi gradient à moment, en particulier dans le contexte stochastique

Méthode de Newton

Méthode de Newton

- ▶ On suppose f de classe \mathcal{C}^2 et $\nabla^2 f(x) \succ 0 \ \forall x$.
- ▶ Méthode de Newton : direction de descente optimale à l'ordre 2 :

$$x_{k+1} = x_k - [\nabla^2 f(x_k)]^{-1} \nabla f(x_k).$$

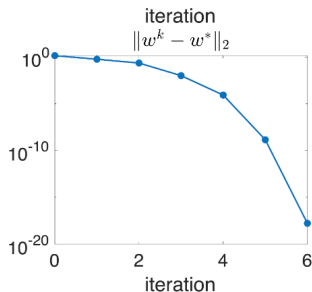
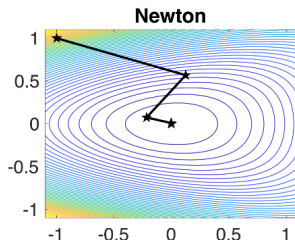
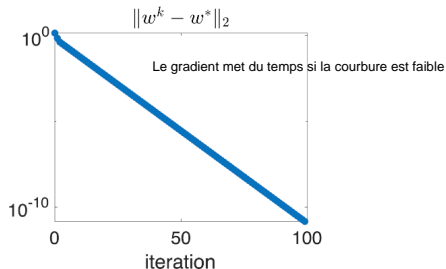
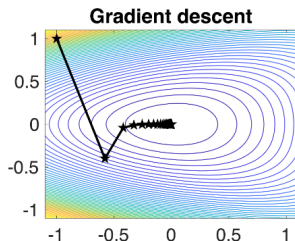
Convergence quadratique

$$\lim_{k \rightarrow +\infty} \frac{\|x_{k+1} - x_*\|}{\|x_k - x_*\|^2} = \tau > 0.$$

Remarques

- ▶ Très efficace, mais coûteux et impossible en grande dimension
- ▶ On peut ajouter un pas comme pour le gradient (*damped Newton*), pour notamment assurer des conditions de type Armijo ou Wolfe
- ▶ La convergence globale n'est pas assurée si la hessienne n'est pas globalement définie-positive

Illustration : gradient vs Newton



[Cornell University, CS 4/5780]

Méthodes de quasi-Newton

- ▶ Quasi-Newton : Newton sans matrice Hessienne.
- ▶ On minimise l'approximation quadratique :

$$f(x) \approx f(x_k) + \nabla f(x_k)^T (x - x_k) + \frac{1}{2} (x - x_k)^T B_k (x - x_k).$$

- ▶ La solution est

$$x_{k+1} = x_k - \gamma_k B_k^{-1} \nabla f(x_k).$$

- ▶ Si $B_k = \nabla^2 f(x_k)$, on retrouve la méthode de Newton.

On remplace B_k par autre chose, si possible léger à calculer

BFGS (Broyden–Fletcher–Goldfarb–Shanno)

Quelles conditions pour B_{k+1} ?

- ▶ Contrainte d'égalité du gradient entre f et l'approximation pour 2 itérés successifs :

$$\gamma_k B_{k+1}(x_{k+1} - x_k) = \nabla f(x_{k+1}) - \nabla f(x_k).$$

- ▶ En posant $s_k = x_{k+1} - x_k$ et $y_k = \nabla f(x_{k+1}) - \nabla f(x_k)$, cela s'écrit

$$B_{k+1} s_k = y_k.$$

BFGS

- ▶ Mise à jour de l'approximation de la Hessienne :

$$B_{k+1} = B_k - \frac{B_k s_k s_k^T B_k}{s_k^T B_k s_k} + \frac{y_k y_k^T}{y_k^T s_k}.$$

- ▶ Plus efficace de travailler sur l'inverse $H_k := B_k^{-1}$, la mise à jour devient :

$$H_{k+1} = \left(I - \frac{s_k y_k^T}{y_k^T s_k} \right) H_k \left(I - \frac{y_k s_k^T}{y_k^T s_k} \right) + \frac{s_k s_k^T}{y_k^T s_k}. \quad (12)$$

BFGS en pratique

- Initialisation B_0 : inverse d'une approximation numérique de la Hessienne en x_0 si possible. Sinon, identité ou matrice diagonale.
- Convergence : en général super-linéaire, si le pas γ_k est bien choisi :

$$\lim_{k \rightarrow +\infty} \frac{\|x_{k+1} - x_*\|}{\|x_k - x_*\|} = 0.$$

- BFGS en grande dimension : très coûteux voire impossible de stocker et calculer avec une matrice dense H_k , même factorisée (Cholesky). On peut à la place stocker p paires (s_k, y_k) et itérer p fois l'équation (12). L'algorithme s'appelle *L-BFGS*.

Moindres carrés non linéaires

On considère la fonction $F : \mathbb{R}^n \rightarrow \mathbb{R}^m$, avec $m > n$. On cherche à résoudre le problème $y = F(x)$ au sens des moindres carrés :

$$\min_x f(x) := \|F(x)\|_2^2. \quad (13)$$

- ▶ F peut être un modèle physique ou un modèle statistique (régression non linéaire)
- ▶ On note $F(x) = (F_1(x), \dots, F_m(x))$, la dérivée de F , appelée matrice jacobienne, s'écrit $J_F(x) = (\nabla F_1(x), \dots, \nabla F_m(x))^T$.
- ▶ Le gradient de f s'écrit

$$\nabla f(x) = J_F(x)^T F(x).$$

- ▶ La Hessienne de f est

$$\nabla^2 f(x) = J_F(x)^T J_F(x) + \sum_{i=1}^m F_i(x) \nabla^2 F_i(x).$$

Algorithme de Gauss-Newton

C'est la méthode de Newton, dans laquelle on approche la matrice Hessienne par $\nabla^2 f(x) = J_F(x)^T J_F(x)$, en supposant que $F_i(x) \approx 0$ au voisinage de l'optimum.

Itérations de l'algorithme de Gauss-Newton

$$x_{k+1} = x_k - [J_F(x_k)^T J_F(x_k)]^{-1} J_F(x_k)^T F(x_k).$$

Remarques

- ▶ Comme dans la méthode de Newton, on ne calcule pas l'inverse mais on résout plutôt un système linéaire
- ▶ Il faut que $J_F(x_k)^T J_F(x_k)$ soit inversible
- ▶ Le système peut se résoudre via une décomposition QR, ou un algorithme de gradient conjugué

Algorithme de Levenberg-Marquardt

- ▶ Aka *Damped least-squares method* (DLS)
- ▶ Motivation : stabiliser l'algorithme, notamment dans les cas où l'approximation de la Hessienne est singulière ou mal conditionnée.
- ▶ Formulation initiale :

$$x_{k+1} = x_k - [J_F(x_k)^T J_F(x_k) + \lambda I]^{-1} J_F(x_k)^T F(x_k).$$

- ▶ Formulation qui tient compte des différences de courbure dans chaque direction :

$$x_{k+1} = x_k - [J_F(x_k)^T J_F(x_k) + \lambda \text{diag}(J_F(x_k)^T J_F(x_k))]^{-1} J_F(x_k)^T F(x_k).$$

Influence du paramètre λ

- ▶ Si $\lambda \rightarrow 0$, on retrouve la méthode de Gauss-Newton
- ▶ Si λ est grand, on se rapproche d'une descente de gradient classique
- ▶ Plusieurs stratégies existent pour mettre à jour λ au fur et à mesure des itérations

Plan de la section

1. Bases mathématiques
2. Optimisation différentiable sans contraintes
3. Optimisation sous contraintes
 - Conditions d'optimalité
 - Pénalisation
 - Lagrangien augmenté
4. Optimisation non lisse et *splitting*
5. Cas d'étude
6. Conclusion

Optimisation sous contraintes

Le problème s'écrit maintenant

$$\min_{x \in \Omega} f(x), \text{ avec } \Omega = \{x | h_i(x) = 0, i \in \mathcal{E}, g_i(x) \leq 0, i \in \mathcal{I}\} \quad (14)$$

Lagrangien

On définit le Lagrangien associé au problème (14) par

$$\mathcal{L}(x, \lambda) = f(x) + \sum_{i \in \mathcal{E}} \lambda_i h_i(x) + \sum_{i \in \mathcal{I}} \lambda_i g_i(x) \quad (15)$$

Optimum = point selle du Lagrangien

x_0 est solution du problème (14) si et seulement si il est solution de

$$\min_x \max_{\lambda} \mathcal{L}(x, \lambda).$$

Conditions d'optimalité

Définitions

- ▶ $x \in \Omega$ est appelé **point admissible** du problème (14)
- ▶ Une contrainte d'inégalité $g_i(x) \leq 0$ est dite **active** (ou saturée) en x_* si $g_i(x_*) = 0$. Elle est dite inactive sinon.

Conditions dites de **KKT** (Karush, Kuhn, Tucker)

Si f , g et h sont de classe \mathcal{C}^1 , si x_* est une solution locale de (14) et si les contraintes d'inégalité sont **qualifiées**, alors il existe un multiplicateur de Lagrange λ_* tel que :

$$\nabla_x \mathcal{L}(x_*, \lambda_*) = 0 \quad (16)$$

$$\lambda_{*i} \geq 0 \forall i \in \mathcal{I} \quad (17)$$

$$\lambda_{*i} g_i(x_*) = 0 \forall i \in \mathcal{I} \cup \mathcal{E} \quad (18)$$

La dernière condition implique qu'une contrainte est soit active, soit que son multiplicateur est nul.

- ▶ Un point satisfaisant ces conditions d'optimalité est dit **stationnaire**

Gradient projeté

On considère le problème

$$\min_x f(x) \text{ s. t. } x \in \Omega, \quad (19)$$

où $\Omega \subset \mathbb{R}^n$ est convexe, fermé, non vide.

Opérateur de projection sur Ω

Soit $x \in \mathbb{R}^n$, la projection de x sur Ω est l'application

$$p_{\Omega}(x) = \arg \min_{y \in \Omega} \frac{1}{2} \|x - y\|_2^2.$$

Algorithme du gradient projeté

On enchaîne des descentes de gradient et des projections:

$$x_{k+1} = p_{\Omega}(x_k - \gamma \nabla f(x_k)).$$

- ▶ Convergence si choix adapté pour le pas γ .
- ▶ Variantes lagrangiennes : méthodes d'Uzawa et de Arrow-Hurwicz

Pénalisation des contraintes

On considère le problème

$$\min_x f(x) \text{ s. t. } g(x) = 0, \quad (20)$$

où $g : \mathbb{R}^n \rightarrow \mathbb{R}^m$ définit m contraintes d'égalité.

Méthode de la pénalisation

- ▶ Résoudre une version pénalisée sans contraintes :

$$\min_x f(x) + \mu \|g(x)\|_2^2$$

- ▶ Augmenter le paramètre $\mu > 0$ à chaque itération

Différentes pénalités possibles, par exemple

- ▶ Quadratique pour des contraintes d'égalité ou \leq
- ▶ Logarithmique pour des contraintes $x \geq 0$

Lagrangien augmenté

On reste sur le même problème sous contraintes d'égalité (20). Le Lagrangien augmenté s'écrit

$$\mathcal{L}_{\text{aug}}(x; \lambda, \mu) = f(x) + \lambda^T g(x) + \frac{\mu}{2} \|g(x)\|_2^2. \quad (21)$$

Méthode du Lagrangien augmenté

On cherche un point-selle de \mathcal{L}_{aug} :

- ▶ Choix de $\mu > 0$, initialisation de $\lambda_0, x_0, k = 0$.
- ▶ Itérations
 - ▶ $x_{k+1} = \arg \min_x \mathcal{L}_{\text{aug}}(x_k; \lambda_k, \mu)$
 - ▶ $\lambda_{k+1} = \lambda_k + \mu g(x_{k+1})$
 - ▶ Toutes les P itérations, on augmente μ

Plan de la section

1. Bases mathématiques
2. Optimisation différentiable sans contraintes
3. Optimisation sous contraintes
4. Optimisation non lisse et *splitting*
 - Motivation
 - Opérateur proximal
 - Algorithmes proximaux
5. Cas d'étude
6. Conclusion

Optimisation non-lisse

On considère à présent des problèmes du type

$$\min_x f(x) + g(x)$$

avec f différentiable et g non-différentiable

Exemples en apprentissage ou en imagerie

- ▶ f est une attache aux données, typiquement des moindres carrés
- ▶ g est une régularisation
- ▶ Pénalisations favorisant la parcimonie:
 - ▶ Parcimonie: $g(x) = \|x\|_0 = \#\{i | x_i \neq 0\}$
 - ▶ Relaxation convexe : $g(x) = \|x\|_1$ (LASSO)
 - ▶ Parcimonie dans un domaine transformé : ondelettes, variation totale, dictionnaires
 - ▶ Rang faible: norme nucléaire = norme 1 des valeurs singulières
 - ▶ Parcimonie structurée : ℓ_{12} (group-LASSO)

Opérateur proximal (Moreau 1965)

Définition

Soit $g : \mathbb{R}^n \rightarrow \mathbb{R} \cup \{+\infty\}$ une fonction semi-continue inférieurement, convexe, de domaine non-vidé. L'opérateur proximal de g est la fonction

$$\text{prox}_g(x) = \arg \min_y g(y) + \frac{1}{2} \|x - y\|_2^2. \quad (22)$$

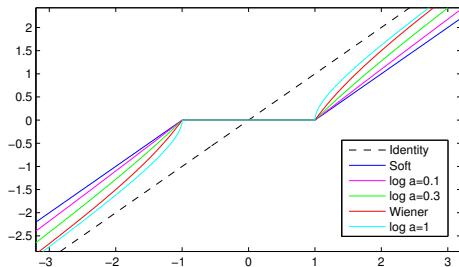
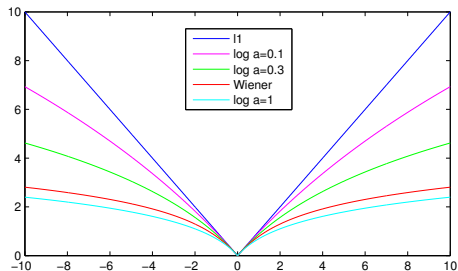
Exemple

$$\text{prox}_{\lambda \|\cdot\|_0}(x) = x \odot \mathbb{1}_{|x| > \lambda} \text{ seuillage dur}$$

$$\text{prox}_{\lambda \|\cdot\|_1}(x) = \text{signe}(x) \odot (|x| - \lambda)_+ \text{ seuillage doux}$$

Extension possible aux fonctions non convexes.

Opérateurs proximaux et parcimonie



Gradient proximal

Aka forward-backward ou ISTA, lorsque f est différentiable à gradient L -Lipschitz.

Algorithme : gradient + prox

$$x_{k+1} = \text{prox}_{\gamma g}(x_k - \gamma \nabla f(x_k)). \quad (23)$$

- ▶ Comme pour le gradient, algorithme MM (majorization-minimization) avec une majorante quadratique
- ▶ Convergence linéaire si $0 < \gamma \leq 1/L$
- ▶ Variante accélérée à la Nesterov : FISTA
- ▶ Si $g(x) = \delta_{\Omega}(x)$, alors $\text{prox}_g = p_{\Omega}$ et on retrouve le gradient projeté

Douglas-Rachford

Lorsqu'on connaît les prox de f et g , différentiables ou non.

Algorithme de Douglas-Rachford

- ▶ Initialiser y_0 , fixer $\rho > 0$ et $\varepsilon \in]0, 1[$ et $\gamma \in]\varepsilon, 2 - \varepsilon[$
- ▶ Itérer

$$\begin{aligned}x_n &= \text{prox}_{\rho g}(y_n) \\y_{n+1} &= y_n + \gamma [\text{prox}_{\rho f}(2x_n - y_n) - x_n]\end{aligned}$$

ADMM

On considère le problème

$$\min_{x \in \mathbb{R}^n, y \in \mathbb{R}^m} f(x) + g(y) \text{ s. t. } Ax + By = c. \quad (24)$$

Son Lagrangien augmenté s'écrit :

$$\mathcal{L}_{\text{aug}}(x, y, \lambda) = f(x) + g(y) + \lambda^T (Ax + By - c) + \frac{r}{2} \|Ax + By - c\|_2^2.$$

ADMM : une adaptation du Lagrangien augmenté

$$x_{k+1} \in \arg \min_x \mathcal{L}_{\text{aug}}(x, y_k, \lambda_k)$$

$$y_{k+1} \in \arg \min_y \mathcal{L}_{\text{aug}}(x_{k+1}, y, \lambda_k)$$

$$\lambda_{k+1} = \lambda_k + r_k (Ax_{k+1} + By_{k+1} - c)$$

Si $A = -B = I$ et r_k bien choisi, on retrouve l'algorithme de Douglas-Rachford.

PALM¹

On considère le problème suivant :

$$\min_{x \in \mathbb{R}^n, y \in \mathbb{R}^m} f(x) + g(y) + H(x, y) \quad (25)$$

avec H une fonction de classe \mathcal{C}^1 et à gradients $L(y)$ et $L(x)$ -Lipschitz, respectivement aux variables x et y . f et g sont des fonctions lsc et propres, possiblement **non-convexes**.

PALM = gradient proximal alterné non-convexe

- ▶ Initialisation de x_0, y_0 , choix de $\gamma \in]0, 1[$
- ▶ Itérations

$$\begin{aligned} c_k &= \gamma / L_1(y_k) \\ x_{k+1} &= \text{prox}_{c_k f}(x_k - c_k \nabla_x H(x_k, y_k)) \\ d_k &= \gamma / L_2(x_{k+1}) \\ y_{k+1} &= \text{prox}_{d_k g}(y_k - d_k \nabla_y H(x_{k+1}, y_k)) \end{aligned}$$

¹Bolte, Jérôme, Shoham Sabach, and Marc Teboulle. "Proximal alternating linearized minimization for nonconvex and nonsmooth problems." Mathematical Programming 146.1 (2014): 459-494.

Plan de la section

1. Bases mathématiques
2. Optimisation différentiable sans contraintes
3. Optimisation sous contraintes
4. Optimisation non lisse et *splitting*
5. Cas d'étude
 - Déconvolution d'images
 - Fusion d'images en grande dimension
 - Démélange spectral non-linéaire pour la TEP dynamique
6. Conclusion

Déconvolution d'images

Modèle direct

$$y = Hx + b,$$

avec $x \in \mathbb{R}^n$ l'image idéale, $y \in \mathbb{R}^n$ la mesure, $b \in \mathbb{R}^n$ le bruit, et H la convolution 2D avec la PSF instrument.

Problème inverse

Si on suppose $b \sim \mathcal{N}(0, \sigma^2 I)$, il est naturel de minimiser la log-vraisemblance qui devient un terme de moindres carrés :

$$f(x) = -\log p(y|x) = \frac{1}{2\sigma^2} \|y - Hx\|_2^2 + \text{Cst}.$$

- ▶ Solution unique si H inversible
- ▶ Calculable facilement en Fourier (avec approximation circulaire) :
 $\hat{x}_{\text{MLE}} = (FH)^{-1}Fy$
- ▶ Mais H **mal conditionnée** : on doit régulariser

Régularisations quadratiques

Tikhonov

$$f(x) = \frac{1}{2\sigma^2} \|y - Hx\|_2^2 + \lambda \|x\|_2^2.$$

- ▶ MAP avec une loi a priori normale
- ▶ Solution explicite : $\hat{x} = (H^T H + \lambda I)^{-1} H^T y$
- ▶ Calculable explicitement en Fourier

Sobolev

$$f(x) = \frac{1}{2\sigma^2} \|y - Hx\|_2^2 + \lambda \|Dx\|_2^2$$

avec D un opérateur de différences finies.

- ▶ Favorise des solutions spatialement lisses
- ▶ Calculable explicitement en Fourier (avec approximation circulaire)
- ▶ Problème : génère une image floue

Régularisation parcimonieuse dans une base

Les images naturelles sont **parcimonieuses** dans des bases bien choisies, comme les ondelettes. En notant W une transformée en ondelettes orthogonale, on peut ainsi régulariser le problème avec une norme ℓ_1 :

$$\hat{x} = \arg \min_x \frac{1}{2\sigma^2} \|y - Hx\|_2^2 + \lambda \|Wx\|_1$$

Algorithme du gradient proximal

- ▶ L'attache aux données $f(x) = \frac{1}{2\sigma^2} \|y - Hx\|_2^2$ est différentiable, son gradient vaut $\nabla f(x) = \frac{1}{\sigma^2} H^T (Hx - y)$ et est L -Lipschitz avec $L = \|H\|_{2 \rightarrow 2}^2 / \sigma^2$.
- ▶ La régularisation $R(x) = \lambda \|Wx\|_1$ n'est pas différentiable mais on peut calculer facilement son opérateur proximal :

$$\text{prox}_R(x) = \arg \min_y \lambda \|Wy\|_1 + \frac{1}{2} \|x - y\|_2^2 = W^{-1} \text{ST}_\lambda(Wx).$$

Régularisation beaucoup utilisée : $R(x) = \|Dx\|_1$ ou $\|Dx\|_{12}$, **variation totale**, algorithme primal-dual dit de Chambolle-Pock.

Régularisations plug-and-play

Formulation par *splitting* avec une régularisation quelconque :

$$\min_{x,z} \frac{1}{2\sigma^2} \|y - Hx\|_2^2 + \lambda R(z) \text{ s. t. } x = z.$$

Half-quadratic splitting

$$x_{k+1} = \arg \min_x \frac{1}{2\sigma^2} \|Hx - y\|_2^2 + \mu \|x - z_k\|_2^2 \text{ solution explicite en Fourier}$$

$$z_{k+1} = \arg \min_z \lambda R(z) + \frac{\mu}{2} \|z - x_{k+1}\|_2^2 = \text{prox}_{\frac{\lambda}{\mu} R}(x_{k+1}) \text{ débruitage}$$

Plug-and-play HQS² : remplacer la seconde étape par un débruiteur appris auparavant.

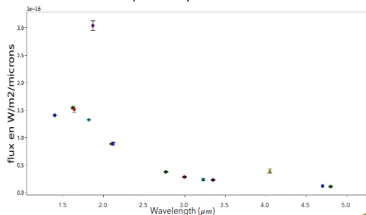
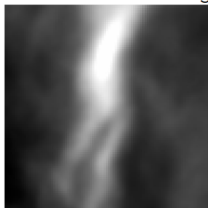
Plus de détails dans le poster et l'exposé de Maud Biquard, collaboration avec Marie Chabert, Florence Genin et Christophe Latry

²Zhang, Kai, et al. "Plug-and-play image restoration with deep denoiser prior." IEEE Transactions on Pattern Analysis and Machine Intelligence 44.10 (2021): 6360-6376.

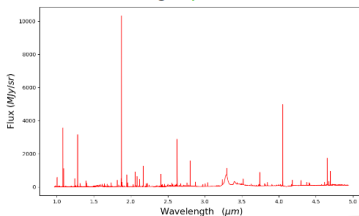
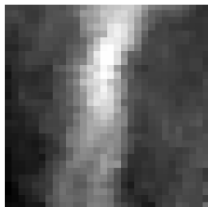
Fusion d'images pour le JWST

Avec Claire Guilloteau, Landry Marquis, Nicolas Dobigeon et Olivier Berné

JWST's NIRCам: high *spatial* resolution, low spectral resolution



JWST's NIRSpec: low spatial resolution, high *spectral* resolution

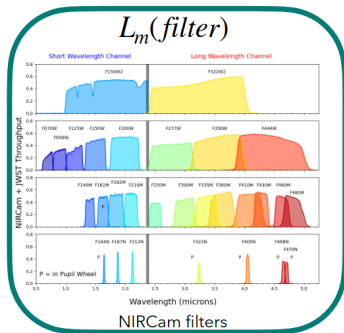
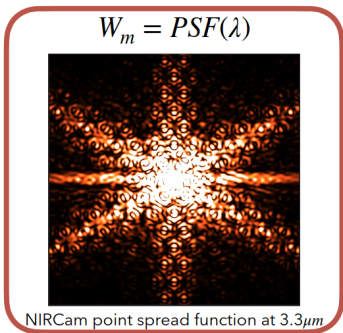


Data: E. Habart et al., PDRs4All: JWST's NIR and MIR imaging view of the Orion Nebula, A & A, 2023
E. Peters et al., PDRs4All: JWST's NIR spectroscopic view of the Orion Bar, A & A, 2024

Fusion d'images pour le JWST

Modèles directs linéaires mais complexes, régularisation spectrale (sous-espace) et spatiale (Sobolev), résolution par **gradient conjugué**³

$$\gamma_m \|Y_m - L_m W_m(X)\|_F^2 + \gamma_h \|Y_h - L_h W_h(X)S\|_F^2 + \mu \|\nabla X\|_F^2$$

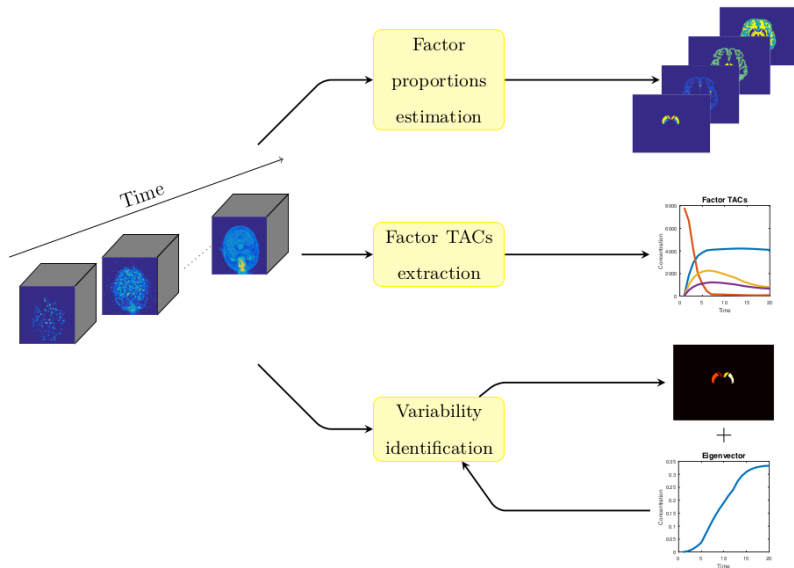


Sources: WebbPSF, STScI website

³Claire Guilloteau et al. *Hyperspectral and multispectral image fusion under spectrally varying spatial blurs—Application to high dimensional infrared astronomical imaging*. IEEE Transactions on Computational Imaging, 6, 2020.

Démélange spectral non-linéaire pour la TEP dynamique

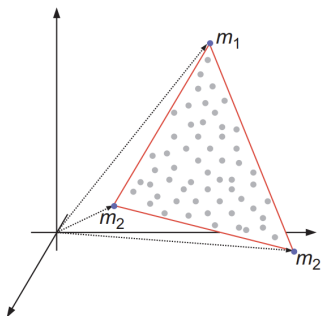
Avec Yanna Cruz Cavalcanti, Clovis Tauber et Nicolas Dobigeon



Démélange / analyse factorielle

Réduction de dimension / analyse factorielle (M : facteurs, A : coefficients)

$$X \approx MA = \sum_{k=1}^K M_k A^k$$



$$\min_{M,A} \|X - MA\|_F^2 + \text{contraintes}$$

- ▶ **ACP** : $M^T M = I$
- ▶ **NMF** : $A, M \geq 0$
- ▶ **Démélange** : $A, M \geq 0$ et $1A = 1$

Démélange et simplexe
[Dobigeon et al., 2016]

Démélange spectral non-linéaire

Modèle de mélange⁴ :

$$x_n = a_{1,n} \left(\bar{m}_1 + \sum_{i=1}^{N_v} b_{i,n} v_i \right) + \sum_{k=2}^K a_{k,n} m_k. \quad (26)$$

Modèle direct en notation matricielle :

$$Y = MAH + \underbrace{\left[EA \circ VB \right]}_{\Delta} H + R \quad (27)$$

On résout

$$(M^*, A^*, B^*) \in \arg \min_{M, A, B} \left\{ \mathcal{J}(M, A, B) \text{ s.t. } M \geq 0, A \geq 0, 1A = 1, B \geq 0 \right\}$$

$$\begin{aligned} \text{avec } \mathcal{J}(M, A, B) = & \frac{1}{2} \left\| Y - MAH - \left[EA \circ VB \right] H \right\|_F^2 \\ & + \alpha \|AD\|_2^2 + \beta \|M - M_0\| + \lambda \|B\|_1 \end{aligned}$$

⁴Yanna C. Cavalcanti et al. *Unmixing dynamic PET images with variable specific binding kinetics*. Medical image analysis, 49, 2018.

Résolution avec PALM

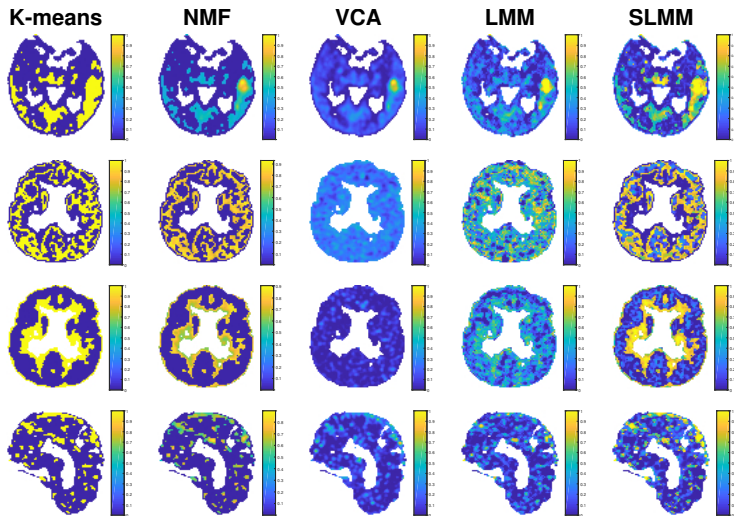
PALM : gradient proximal alterné. Pour calculer les itérations, il faut expliciter les gradients, les constantes de Lipschitz et les opérateurs proximaux. Exemple pour M :

$$M^{k+1} = \mathcal{P}_+ \left(M^k - \frac{1}{L_M^k} \nabla_M \mathcal{J}(M^k, A^{k+1}, B^k) \right)$$

$$\text{avec } \nabla_M \mathcal{J} = ((E_1 A \circ V B) H - Y) H^T A^T + M(A H H^T A^T) + \beta(M - M^0)$$

$$\text{et } L_M^k = \left\| A H H^T A^T \right\|_{2 \rightarrow 2} + \beta$$

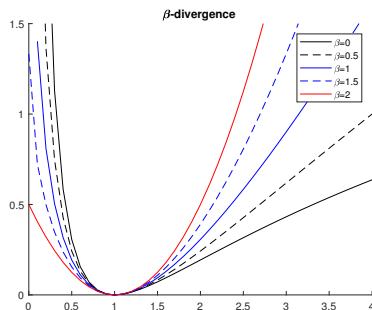
Quelques résultats



Cartes des abondances A avec, de haut en bas : matière grise spécifique, matière blanche, matière grise non spécifique, sang.

Influence de la fonction-coût

- ▶ Le bruit en TEP dynamique n'est pas Gaussien : il contient des composantes poissonniennes, gaussiennes et Gamma multiplicatives
- ▶ Les statistiques du bruit de mesure sont fortement modifiées par la reconstruction 3D, via un algorithme souvent propriétaire
- ▶ Une solution⁵ : utiliser une famille de fonction-coût flexibles : les β -divergences



⁵Cavalcanti, Yanna Cruz, et al. *Factor analysis of dynamic PET images: beyond Gaussian noise*. IEEE Transactions on Medical Imaging, 2019.

Algorithme MM

Formulation majoration-minimisation avec mises à jour multiplicatives :

$$\tilde{Y} = M^k A^k + \left[E_1 A^k \cdot V B^k \right]$$

$$B^{k+1} = B^k \cdot \left[\frac{1_{N_v}^T A_{1,:} \cdot (V^T (Y \cdot \tilde{X}^{\beta-2}))}{1_{N_v}^T A_{1,:} \cdot (V^T \tilde{X}^{\beta-1}) + \lambda B^k \Gamma_B} \right]^{\frac{1}{3-\beta}}$$

$$\tilde{X} = M^k A^k + \left[E A^k \cdot V B^{k+1} \right]$$

$$M_{2:K}^{k+1} = M_{2:K}^k \left[\frac{(Y \cdot \tilde{X}^{\beta-2}) A_{2:K}^T}{\tilde{X}^{\beta-1} A_{2:K}^T} \right]$$

$$\tilde{X} = M^{k+1} A^k + \left[E A^k \cdot V B^{k+1} \right]$$

$$A_1^{k+1} = A_1^k \cdot \left[\frac{1_L^T ((M_1 1_N^T + V B) \cdot (Y \cdot \tilde{X}^{\beta-2}) + \tilde{x}^\beta)}{1_L^T ((M_1 1_N^T + V B) \cdot \tilde{X}^{\beta-1} + Y \cdot \tilde{X}^{\beta-1})} \right]$$

$$A_{2:K}^{k+1} = A_{2:K}^k \cdot \left[\frac{M_{2:K}^T (Y \cdot \tilde{X}^{\beta-2}) + 1_{K-1,L} \tilde{X}^\beta}{M_{2:K}^T \tilde{X}^{\beta-1} + 1_{K-1,L} (Y \cdot \tilde{X}^{\beta-1})} \right]$$

Plan de la section

1. Bases mathématiques
2. Optimisation différentiable sans contraintes
3. Optimisation sous contraintes
4. Optimisation non lisse et *splitting*
5. Cas d'étude
6. Conclusion

Take-home message

Formulation d'un problème d'optimisation

- ▶ Utiliser une fonction coût pertinente, possiblement basée sur la vraisemblance si on a un modèle statistique du bruit
- ▶ Ajouter des contraintes
- ▶ Ajouter des termes de régularisation

Choix d'un algorithme pour résoudre le problème

- ▶ Identifier le cadre : différentiable, convexe, contraintes, etc
- ▶ Tenir compte de la dimension du problème
- ▶ Modifier si besoin la formulation du problème
- ▶ Régler les paramètres de l'algorithme et bien initialiser

Autres cadres d'optimisation : programmation linéaire, en nombre entiers, programmation par contraintes, variable complexe...

Optimisation pour l'apprentissage

Descente de gradient stochastique

- ▶ En apprentissage, on a souvent des fonctions de coût qui s'écrivent

$$f(x) = \frac{1}{N} \sum_{x_i \in \text{Data}} g(x_i),$$

- ▶ Calcul d'un seul gradient = parcourir tout le jeu de données!
- ▶ On fait à la place une descente de gradient stochastique en approchant le gradient grâce à un **minibatch** :

$$\nabla f(x) \approx \frac{1}{\#B} \sum_{i \in B} g(x_i).$$

Quelques algorithmes de gradient stochastique

- ▶ Descente de gradient stochastique (SGD)
- ▶ Accélération à la Nesterov : SGD with momentum
- ▶ Pas adaptatifs : Adagrad, Adadelata, Adam